

УДК 539.196.3+535.34+535.37

МЕЖМОЛЕКУЛЯРНЫЕ ВЗАИМОДЕЙСТВИЯ И СПЕКТРЫ МОЛЕКУЛ В МНОГОКОМПОНЕНТНЫХ РАСТВОРАХ

II. СПЕКТРОСКОПИЧЕСКИЙ МЕТОД ИЗУЧЕНИЯ СОСТАВА СОЛЬВАТНЫХ ОБОЛОЧЕК МОЛЕКУЛ

Н. Г. Бахшиев, В. П. Волков и А. В. Алтайская

Предложен спектроскопический метод изучения состава сольватных оболочек молекул в многокомпонентных растворах, основанный на использовании (развивающихся авторами представлений и теории, связывающих положение спектров поглощения и флуоресценции молекулы растворенного вещества с физическими свойствами (локальной диэлектрической постоянной, показателем преломления и др.) ее ближайшего окружения — первой координационной сферы).

1. Известно, что методы молекулярной спектроскопии весьма широко и эффективно используются в настоящее время для изучения разнообразных физико-химических свойств и установления структуры молекул. Однако применение указанных методов для исследования молекулярного строения конденсированных систем (в особенности жидкостей и растворов) является пока довольно ограниченным, что обусловлено в основном недостаточным развитием соответствующих теоретических представлений. Между тем возможность более широкого получения такого рода информации из молекулярных спектров конденсированных сред имеет важное значение как с чисто познавательной, так и с практической точек зрения. В связи с этим представляют существенный интерес попытки установления новых корреляций между различными параметрами спектральных полос молекул, с одной стороны, и структурными характеристиками изучаемой конденсированной системы, с другой.

В настоящей работе предлагается спектроскопический метод количественного исследования состава сольватных оболочек молекул в многокомпонентных растворах. Подобные системы (в частности, трехкомпонентные растворы органических соединений) обладают, как известно, рядом своеобразных спектрально-люминесцентных свойств (см., например, [1-3, 19]), природа которых пока недостаточно ясна и заслуживает поэтому дальнейшего изучения.

2. Согласно [4-6], общее выражение, описывающее смещение $\Delta\nu^{a,f}$ частот электронных переходов (на практике — частот максимумов полос) в спектрах поглощения (*a*) и флуоресценции (*f*) молекул в жидких растворах ($\nu_{p-p}^{a,f}$) относительно газовой фазы ($\nu_{\text{газ}}^{a,f}$) под действием универсальных вандерваальсовских взаимодействий, имеет вид

$$\begin{aligned} hc\Delta\nu^{a,f} = & \nu_{p-p}^{a,f} - \nu_{\text{газ}}^{a,f} = C_1^{a,f} \left[\frac{2\bar{n}_x^2 + 1}{\bar{n}_x^2 + 2} \left(\frac{\bar{\epsilon}_x - 1}{\bar{\epsilon}_x + 2} - \frac{\bar{n}_x^2 - 1}{\bar{n}_x^2 + 2} \right) + \right. \\ & \left. + p_1^{a,f} \frac{2\bar{n}_x^2 + 1}{\bar{n}_x^2 + 2} \frac{\bar{n}_x^2 - 1}{\bar{n}_x^2 + 2} + p_2^{a,f} \frac{\bar{n}_x^2 - 1}{\bar{n}_x^2 + 2} \right] = C_1^{a,f} F^{a,f} (\bar{\epsilon}_x, \bar{n}_x), \end{aligned} \quad (1)$$

где первый, второй и третий члены в квадратных скобках определяются межмолекулярными силами соответственно ориентационного, индукцион-

ного и дисперсионно-поляризационного характера ($F^{a,f}(\bar{\varepsilon}_x, \bar{n}_x)$ — функция универсального взаимодействия). Здесь $C_1^{a,f}$, $p_1^{a,f}$ и $p_2^{a,f}$ — параметры, зависящие в основном от свойств исследуемой молекулы, а $\bar{\varepsilon}_x$ и \bar{n}_x — соответственно средние локальные диэлектрическая постоянная и показатель преломления ее ближайшего окружения (первой координационной сферы) [6]. Как показано в [6], для разбавленных двухкомпонентных растворов (т. е. растворов в индивидуальном растворителе) удовлетворительным приближением являются условия $\bar{\varepsilon}_x \approx \varepsilon$, $\bar{n}_x \approx n$ (ε и n — макроскопические диэлектрическая постоянная и показатель преломления среды), тогда как при использовании смешанного растворителя в общем случае $\bar{\varepsilon}_x \neq \varepsilon$, $\bar{n}_x \neq n$.

Рассмотрим наиболее простой, однако характерный пример многокомпонентной системы в виде разбавленного раствора исследуемого полярного органического соединения в смеси нейтрального (неполярного) растворителя с различными добавками активного (полярного) компонента. Следует подчеркнуть, что именно для такого рода систем характерны упоминавшиеся выше спектрально-люминесцентные особенности, отличающие их от обычных двухкомпонентных растворов.

Предположим далее, что положение спектров поглощения и флуоресценции вещества в индивидуальных растворителях [неполярном (I) и полярном (II)] удовлетворительно описывается соотношением (1). Как нетрудно видеть, это означает, что специфические (донорно-акцепторные) межмолекулярные взаимодействия исследуемой молекулы со средой в указанных двухкомпонентных растворах либо слабы, либо относительно мало проявляются в смещении электронных спектров [7]. Последнее, в свою очередь, дает основания считать, что указанные специфические взаимодействия (если таковые имеют место) не должны оказывать существенного влияния на положение электронных полос также и в случае смешанного растворителя.

Допустим, на конец, что показатели преломления индивидуальных растворителей I и II, а также конфигурация и размеры образующих их частиц близки между собой, так что при формировании сольватной оболочки исследуемой молекулы в смешанном растворителе обмен в первой координационной сфере частиц сорта I на частицы сорта II осуществляется по принципу «молекула на молекулу». При этом, очевидно, можно с достаточным основанием принять $\bar{n}_x \approx n_I \approx n_{II}$, т. е. считать значение \bar{n}_x постоянным и заданным при любых соотношениях компонент I и II. Естественно также, что поскольку растворитель I является неполярным, а растворитель II полярен, величина $\bar{\varepsilon}_x$ может в рамках сделанных допущений принимать значения, лежащие в интервале $\varepsilon_I \leq \bar{\varepsilon}_x \leq \varepsilon_{II}$ (в зависимости от состава смеси).

Имея в виду вышеизложенное, нетрудно, комбинируя выражения типа (1), получить следующее соотношение, описывающее смещение $\delta\nu^{a,f}$ спектров поглощения и флуоресценции в смешанном растворителе (I+II) по отношению к раствору в индивидуальном растворителе I:

$$\hbar c \delta\nu^{a,f} = \hbar c (\Delta\nu_{I+II}^{a,f} - \Delta\nu_I^{a,f}) = C_1^{a,f} [F^{a,f}(\bar{\varepsilon}_x, \bar{n}_x) - F^{a,f}(\varepsilon_I, n_I)], \quad (2)$$

откуда, принимая во внимание $\bar{n}_x \approx n_I \approx n_{II} = n$, запишем

$$\hbar c \delta\nu^{a,f} = C_1^{a,f} \frac{2n^2 + 1}{n^2 + 2} \left(\frac{\bar{\varepsilon}_x - 1}{\bar{\varepsilon}_x + 2} - \frac{n^2 - 1}{n^2 + 2} \right). \quad (3)$$

Легко видеть, что с помощью формулы (3) можно извлекать из спектральных данных (смещений $\delta\nu^{a,f}$) информацию о значениях $\bar{\varepsilon}_x$, отвечающих различному составу смешанного растворителя (и, в частности, разным значениям его макроскопической диэлектрической постоянной ε_{I+II}), а следовательно, получать сведения о составе сольватных оболочек

исследуемой молекулы, соответствующих ее основному и возбужденному электронным состояниям.

Действительно, по аналогии с тем, как определяется макроскопическая диэлектрическая постоянная смешанного растворителя

$$\epsilon_{I+II} \approx \epsilon_I \varphi_I + \epsilon_{II} \varphi_{II}, \quad (4)$$

где φ_I и φ_{II} — объемные доли компонент I и II в смеси, можно приблизенно оценить значение локальной диэлектрической постоянной $\bar{\epsilon}_z$ ближайшего окружения поглощающей (излучающей) молекулы по формуле

$$\bar{\epsilon}_z \approx \epsilon_I \gamma_I + \epsilon_{II} \gamma_{II}, \quad (5)$$

где

$$\gamma_I = \frac{\bar{z}_I}{\bar{z}_I + \bar{z}_{II}}, \quad (6)$$

$$\gamma_{II} = \frac{\bar{z}_{II}}{\bar{z}_I + \bar{z}_{II}}. \quad (7)$$

Здесь \bar{z}_I и \bar{z}_{II} имеют смысл средних чисел молекул сорта I и сорта II в первой координационной сфере [6, 8] изучаемой молекулы. Обозначив $\gamma_{II} = \gamma$ и имея в виду, что $\gamma_I = 1 - \gamma$, нетрудно получить из (5) окончательную формулу

$$\gamma = \frac{\bar{\epsilon}_z - \epsilon_I}{\epsilon_{II} - \epsilon_I}, \quad (8)$$

которая, таким образом, устанавливает прямую связь между значением $\bar{\epsilon}_z$ и строением сольватной оболочки молекулы (величина γ по физическому смыслу представляет собой среднюю степень заполнения первой координационной сферы молекулами компонента II). При этом необходимо иметь в виду, что использование в (8) значений $\bar{\epsilon}_z$, найденных из опыта по формуле (3) с индексами a и f , позволяет определить величину γ соответственно для основного и возбужденного состояний молекулы.

3. Обратимся к рассмотрению фактического материала, относящегося к спектрам поглощения и флуоресценции растворов органических соединений в смесях неполярного и полярного растворителей. В качестве исследуемых веществ были выбраны 3-аминофталимид и 4-амино-*N*-метилфталимид, являющиеся, как известно, весьма удобными объектами при изучении разнообразных сольватохромных явлений (см., например, [1, 6, 7, 9]).

Таблица 1

Вещество	μ_g (D)	μ_e (D)	C_1^a , см ⁻¹		C_1^f , см ⁻¹	
			по (3)	по данным [7, 9, 13]	по (3)	по данным [7, 9, 13]
3-Аминофталимид	2.6	5.2	-1600	-1400	-4100	-3400
4-Амино- <i>N</i> -метилфталимид	3.5	7.1	-3300	-2800	-7300	-6400

В табл. 1 приведены необходимые для дальнейшего рассмотрения значения дипольных моментов обеих молекул, отвечающие основному (μ_g) и первому возбужденному (μ_e) электронным состояниям [7, 10]. Растворителями служили н.-гептан или н.-гексан (компонент I) и н.-бутиловый спирт (компонент II), удовлетворяющие большинству перечисленных выше требований ($n_I \approx n_{II} = 1.39$; $\epsilon_I = 1.95$, $\epsilon_{II} = 17.1$; $r_I \approx r_{II} \approx 3.7 - 3.8 \text{ \AA}$ [11, 12]). Следует особо подчеркнуть, что, согласно [7, 13], растворы обоих замещенных фталимида в индивидуальных растворителях I и II удовлетворительно

описываются в спектроскопическом смысле соотношением (1). Для иллюстрации этого в табл. 1 приведены значения параметров C_1^a и C_1^f , определенные, с одной стороны, по данным работ [7, 9, 13], относящимся к влиянию на спектры поглощения и флуоресценции производных фталимида совокупности различных по своей природе индивидуальных растворителей, а с другой стороны — по формулам (3) и (8) настоящей работы, которые применительно к случаю растворов в бутиловом спирте отвечают предельным условиям $\gamma = 1$ и $\epsilon_I = \epsilon_{II}$. Нетрудно видеть, что указанные параметры, найденные различными путями, удовлетворительно (в пределах точности их определения, составляющей $\pm 10\%$), согласуются друг с другом, непосредственно подтверждая высказанное выше соображение.

Рис. 1. Зависимости смещения максимумов спектров поглощения ($\delta\nu^a$) и флуоресценции ($\delta\nu^f$) 4-амино-N-метилфталимида в смешанном растворителе от концентрации полярного компонента (об. %). Неполярный компонент — н.-гексан (н.-гептан), полярный компонент — н.-бутанол.

В смесях растворителей I и II представлены на рис. 1, 2 зависимости смещений $\delta\nu^a$ и $\delta\nu^f$ от состава смеси.² Найденные по этим данным с помощью соотношений (3) и (8) значения ϵ_I и γ приведены в табл. 2 и 3. Здесь же даны для сравнения значения макроскопической диэлектрической постоянной смешанного растворителя ϵ_{I+II} , вычисленные по формуле (4).

Таблица 2.

3-Аминофталимид

состав раствори- теля φ , %	Основное состояние				Возбужденное состояние				
	$\epsilon_I + II$	ϵ_I	γ , %	ΔV , ккал./моль	состав раствори- теля φ , %	$\epsilon_I + II$	ϵ_I	γ , %	ΔV , ккал./моль
1.5	2.2	2.7	5	-0.3	0.10	2.0	3.5	10	-2.0
3.0	2.4	3.5	10	-0.5	0.20	2.0	5.1	20	-3.0
5.5	2.8	5.1	20	-0.8	0.25	2.0	5.7	25	-3.5
8.5	3.2	6.5	30	-1.0	0.35	2.0	6.5	30	-3.8
14.0	4.1	8.0	40	-1.0	0.55	2.0	8.0	40	-4.3
28.0	6.2	9.5	50	-1.15	0.80	2.1	9.5	50	-4.7
40.0	8.0	11.0	60	-1.2	1.15	2.1	11.0	60	-4.9
50.0	9.5	12.6	70	-1.3	2.00	2.25	12.6	70	-5.1
68.0	12.2	14.0	80	-1.3	7.00	3.0	14.0	80	-5.2
80.0	14.1	15.6	90	-1.4	60.0	11.0	15.6	90	-5.4
90.0	15.6	17.1	100	-1.4	90.0	15.6	17.1	100	-5.5
100.0	17.1	17.1	100	-1.4	100.0	17.1	17.1	100	-5.5

¹ Методика подобных опытов подробно описана в ряде работ (см., например, [1, 7, 9]).

² Имея в виду выяснение принципиальной стороны вопроса, мы использовали в настоящей работе данные, относящиеся к необезгаженным растворам, содержащим растворенный кислород воздуха. Между тем, как показано недавно в работе [14], это обстоятельство может несколько изменить характер зависимости $\delta\nu^f$ от состава растворителя для 4-амино-N-метилфталимида. Представляется очевидным, однако, что в случае необходимости соответствующие численные корректировки, не влияющие на общие выводы работы, могут быть легко внесены.

Рассмотрение приведенного в табл. 2 и 3 материала позволяет сделать ряд заключений и выводов о принципиальных особенностях строения много-компонентных жидкких молекулярных систем, отличающих их от разбавленных двухкомпонентных растворов и однокомпонентных жидкостей. Прежде всего этот материал может служить экспериментальным подтверждением высказанного в работе [6], а также в работах других авторов (см., например, [3, 15, 16]), мнения, согласно которому для такого рода систем характерны явления конкуренции частиц разного сорта за место в непосредственной близости от исследуемой молекулы, приводящие к возникновению молекулярных образований, микроскопический состав которых в ограниченной области (например, в пределах первой координационной сферы) может, вообще говоря, не иметь ничего общего с составом системы в целом, определенным из макроскопической относительной доли в нем частиц разного сорта. Нетрудно видеть, что последнее заключение непосредственно вытекает из факта существенного различия значений $\bar{\varepsilon}_d$ и ε_{I+II} , особенно наглядно проявляющегося при малых содержаниях компонента II.

Второй заслуживающий, по нашему мнению, внимания результат заключается в том, что в определенной области концентраций спирта наблюдается резкое отличие состава сольватных оболочек молекулы для ее основного и возбужденного состояний. Этот факт, который прямо следует из сопоставления значений $\bar{\varepsilon}_d$, соответствующих различным энергетическим состояниям молекулы растворенного вещества, но одному и тому же макроскопическому составу смешанного растворителя, хорошо коррелирует, в частности, с величинами моментов μ_g и μ_e исследованных замещенных фталимида в различных электронных состояниях (табл. 1), непосредственно указывая на дипольную, ориентационную природу межмолекулярных сил, ответственных за рассматриваемое явление.

Таблица 3

4-Амино-N-метилфталимид

состав растворителя φ , %	Основное состояние				Возбужденное состояние				
	ε_{I+II}	$\bar{\varepsilon}_d$	γ , %	ΔV , ккал./моль	состав растворителя φ , %	ε_{I+II}	$\bar{\varepsilon}_d$	γ , %	ΔV , ккал./моль
1.0	2.1	2.7	5	-0.5	0.10	2.0	3.5	10	-3.7
2.0	2.25	3.5	10	-0.9	0.15	2.0	5.1	20	-5.7
3.6	2.5	5.1	20	-1.4	0.20	2.0	6.5	30	-7.0
5.5	2.8	6.5	30	-1.7	0.25	2.0	7.2	35	-7.5
7.0	3.0	8.0	40	-1.9	0.35	2.0	8.0	40	-7.9
8.3	3.2	9.5	50	-2.1	0.85	2.1	9.5	50	-8.5
9.4	3.4	11.0	60	-2.2	6.80	3.0	11.0	60	-9.2
20.0	5.0	12.6	70	-2.3	10.0	3.5	12.6	70	-9.4
40.0	8.0	14.0	80	-2.4	46.0	8.9	14.0	80	-9.8
62.0	11.3	15.6	90	-2.4	70.0	12.6	15.6	90	-10.1
90.0	15.6	17.1	100	-2.5	90.0	15.6	17.1	100	-10.3
100.0	17.1	17.1	100	-2.5	100.0	17.1	17.1	100	-10.3

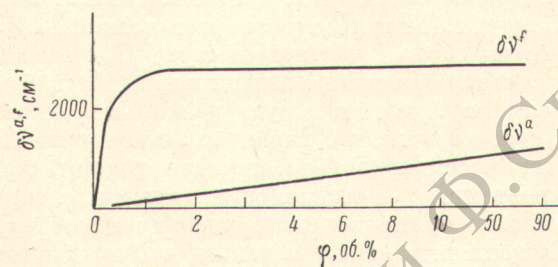


Рис. 2. Зависимости смещения максимумов спектров поглощения ($\delta\nu^a$) и флуоресценции ($\delta\nu^f$) 3-аминофталимида в смешанном растворителе от концентрации полярного компонента (об. %). Неполярный компонент — н.-гексан (н.-гептан), полярный компонент — н.-бутанол.

Представляется очевидным, что процессы вытеснения частиц сорта I частицами сорта II из первой координационной сферы поглощающей (излучающей) молекулы могут протекать только в том случае, если они энергетически выгодны, т. е. сопровождаются достаточным понижением энергии всей системы. Полученные данные позволяют произвести соответствующие оценочные расчеты разности ΔV полных потенциалов ван-дерваальсовского взаимодействия молекулы со средой для смешанного (V_{I+II}) и индивидуального неполярного (V_I) растворителей при различных концентрациях компонента II. Результаты вычислений величины $\Delta V = V_{I+II} - V_I$, проведенных по формулам работы [18] с использованием содержащихся в табл. 2 и 3 значений ϵ_1 , представлены в тех же таблицах.³ Нетрудно видеть, что энергетический выигрыш, обусловленный заменой частиц сорта I частицами сорта II и вызванный, тем самым, появлением в системе ориентационных взаимодействий, составляет довольно большую величину, достигающую нескольких ккал./моль. Следует подчеркнуть в связи с этим, что характер зависимости ΔV от степени заполнения γ может рассматриваться, вообще говоря, как прямое экспериментальное проявление насыщенности (иными словами, нестрогой аддитивности) межмолекулярных сил ориентационного характера (ср., например, с [17]). Существенно отметить также, что практически во всех случаях изменение энергии растворения заметно превосходит величину kT , являющуюся мерой энергии теплового движения молекул жидкости и составляющую при $T \approx 300^\circ\text{K}$ около 0.5—0.6 ккал./моль.

4. В заключение представляется необходимым коротко остановиться на выводах авторов работ [1, 19], которые объясняют упоминавшиеся выше своеобразные спектрально-люминесцентные особенности трехкомпонентных растворов и, в частности, данные рис. 1 и 2, важной ролью в таких растворах межмолекулярных взаимодействий специфического (донорно-акцепторного) характера. Не отрицая существенного значения в целом ряда случаев такого рода взаимодействий, мы тем не менее полагаем, что в многокомпонентных системах необходимо прежде всего учитывать микроструктуру раствора, причем такой учет зачастую сам по себе позволяет удовлетворительно интерпретировать рассматриваемое явление. Следует особо подчеркнуть в связи с этим, что межмолекулярные силы, определяющие состав и строение сольватных оболочек молекул в подобных системах, могут быть самыми различными, т. е. не обязательно должны иметь квантическую, обменную природу. По-видимому, именно так обстоит дело по крайней мере для рассмотренных здесь трехкомпонентных растворов, особенности микроскопического молекулярного строения которых обусловлены, как показано, преимущественно универсальными межмолекулярными взаимодействиями ориентационного (диполь-дипольного) характера.

Литература

- [1] А. С. Черкасов. Изв. АН СССР, сер. физ., 24, 591, 1960; Опт. и спектр., 12, 73, 1962.
- [2] Т. Кубота. J. Spectr. Soc. Japan, 10, 83, 1962.
- [3] А. Kawski, B. Polacka, P. Czyz. Acta Phys. Polon., 23, 705, 1963.
- [4] Н. Г. Бахшиев. Опт. и спектр., 10, 717, 1961; 16, 821, 1964.
- [5] Н. Г. Бахшиев, О. П. Гирин, И. В. Питерская. Опт. и спектр., 24, 901, 1968.
- [6] Н. Г. Бахшиев, А. В. Алтайская. Опт. и спектр., 26, 950, 1969.
- [7] Н. Г. Бахшиев. Опт. и спектр., 19, 345, 1965; докт. дисс., Л., 1965.
- [8] И. З. Фишер. Статистическая теория жидкостей. Физматгиз, М., 1961.

³ При рассмотрении этих, а также других данных настоящей работы необходимо иметь в виду, что они характеризуют статистически усредненную картину строения раствора. В действительности, очевидно, в каждом растворе имеет место большая или меньшая неоднородность состава сольватных оболочек различных молекул (т. е. различные соотношения чисел \bar{z}_1 и \bar{z}_2).

- [9] И. А. Жмырева, В. В. Зелинский, В. П. Колобков, И. Д. Красницкая. ДАН СССР, 129, 1089, 1959.
- [10] Н. Г. Бахшиев. Опт. и спектр., 13, 192, 1962.
- [11] Ch. Böttcher. Rec. trav. chim., 62, 325, 1947.
- [12] Ch. Böttcher. Th. Scholte, Rec. trav. chim., 72, 625, 1953.
- [13] Н. Г. Бахшиев. Опт. и спектр., 12, 350, 557, 1962.
- [14] Т. В. Веселова, И. И. Резникова, А. С. Черкасов и В. И. Широков. Опт. и спектр., 25, 98, 1968.
- [15] E. Lipprert, F. Moll. Zs. Elektrochem., 58, 718, 1954.
- [16] В. Липтэй. Сб. «Современная квантовая химия», т. 2, стр. 201. Изд. «Мир», М., 1968.
- [17] Дж. Гиршфельдер, Ч. Кертисс, Р. Берд. Молекулярная теория газов и жидкостей. ИЛ, М., 1961.
- [18] Н. Г. Бахшиев. Опт. и спектр., 26, 369, 1969.
- [19] Т. В. Веселова, Л. А. Лимарева, А. С. Черкасов, В. И. Широков. Опт. и спектр., 19, 78, 1965.

Поступило в Редакцию 14 апреля 1969 г.